

۲۴۹-۲۳۷ ص

## تعیین منشأ هیدروکربن‌های آروماتیک چندحلقه‌ای در منطقه ساحلی بوشهر با استفاده از مطالعه نسبت ترکیبات *Barbatia helblingii* مذکور در دوکه‌ای

- ❖ علیرضا صفاهیه: استادیارگروه بیولوژی دریا، دانشکده علوم دریایی و اقیانوسی، دانشگاه علوم و فنون دریایی خرمشهر، ایران
- ❖ معصومه محمودی\*: استادیارگروه بیولوژی دریا، دانشکده علوم دریایی و اقیانوسی، دانشگاه علوم و فنون دریایی خرمشهر، ایران و مری دانشگاه آزاد اسلامی واحد دورود، دورود، ایران
- ❖ کمال غانمی: استادیارگروه شیمی دریا، دانشکده علوم دریایی و اقیانوسی، دانشگاه علوم و فنون دریایی خرمشهر، ایران
- ❖ یدالله نیک‌پور: استادیارگروه شیمی دریا، دانشکده علوم دریایی و اقیانوسی، دانشگاه علوم و فنون دریایی خرمشهر، ایران
- ❖ امیر مهدویانی: کارشناس ارشد اداره محیط زیست بوشهر، ایران

### چکیده

هیدروکربن‌های آروماتیک چندحلقه‌ای (PAHs) از آلاینده‌های پایدار اکوسيستم دریا به شمار می‌روند که از منابع مختلفی منشأ می‌گیرند و مخاطرات زیادی برای آبیان و انسان دارند. با بررسی نسبت غلظت ترکیبات PAHs در دوکه‌ای‌ها می‌توان به منشأ ورود آنها به دریا پی برد و اطلاعات حاصل می‌تواند در مدیریت شیلاتی و زیست محیطی به کار گرفته شود. به علت کثیر صنایع و حمل و نقل نفت در آبهای ساحلی بوشهر به نظر می‌رسد غلظت‌های بالایی از این ترکیبات در منطقه مذکور وجود داشته باشد. این مطالعه به منظور اطلاع از غلظت و منشأ PAHs در دوکه‌ای *Barbatia helblingii* در سواحل بوشهر انجام گرفت. نمونه‌برداری از صدف از ۵ ایستگاه مختلف در طول ساحل بوشهر شد. از هر ایستگاه ۳۰ نمونه صد همانزاره (میانگین ۳۵ میلی‌متر) برداشته شد. پس از هضم بافت نرم با متابول، ترکیبات PAHs با حال هگزان استخراج سپس به کمک دستگاه HPLC اندازه‌گیری شد. نتایج نشان داد غلظت tPAHs در صدف موردن مطالعه ۱۲۹/۵-۶۳۴/۷ نانوگرم بر گرم وزن خشک بوده است. غلظت tPAHs در صدفهای مربوط به ایستگاه‌های مختلف تفاوت معنی‌داری داشت ( $P < 0.05$ ). صدفهای منطقه رافائل بیشترین غلظت tPAHs و صدفهای مربوط به منطقه آب‌شیرین کن کمترین غلظت ترکیبات مذکور را داشتند. نسبت ترکیبات PAHs در صدف گویای آن بود که این ترکیبات هم از سوختن نفت (منشأ پایرولیتیک) و هم از ورود مستقیم آن به دریا (منشأ پتروژئنیک) ناشی می‌شوند. به نظر می‌رسد ایستگاه آب‌شیرین کن به علت غلظت کمتر و دسترسی زیستی پایین آلاینده‌ها محل مناسبی برای توسعه فعالیت‌های آبزی‌پروری باشد. میانگین غلظت tPAHs در صدف *Barbatia helblingii* ۴۲۱/۶ نانوگرم بر گرم بوده است که در مقایسه با سایر دوکه‌ای‌های مطالعه شده در سایر نقاط دنیا غلظت در خور توجهی بوده است و نشان‌دهنده دسترسی زیستی نسبتاً بالای این ترکیبات برای آبیان منطقه است. با توجه به تأثیرات سوء PAHs در سلامتی انسان مطالعه این ترکیبات در ماهیان شیلاتی نیز ضروری به نظر می‌رسد.

**واژگان کلیدی:** آبزیان، دوکه‌ای *B.helblingii*, PAHs.

طی فرایند تجزیه و دفع این مواد در مهره‌داران و انسان معمولاً ترکیبات حد واسطی تولید می‌شوند که به مراتب از ترکیبات اولیه خطرناک‌ترند. این ترکیبات ممکن است هم برای آبزیان و هم برای انسان سرطان‌زا باشند (Manoli *et al.*, 2000). به همین علت سنجش آنان در آبزیانی نظیر ماهیان نمی‌تواند معیار واضحی از میزان خطر به وجود آمده برای آبزیان و انسان باشد. در عوض دوکفه‌ای‌ها علاوه بر کم تحرکی فاقد سیستم کارامد برای متابولیزم و دفع PAHs هستند (Akcha *et al.*, 2000). علاوه بر آنکه سنجش این آلاینده‌ها در آنان معیار مناسبی از دسترسی زیستی سایر آبزیان از جمله آبزیان شیلاتی است، بررسی نسبت غلظت ترکیبات PAHs می‌تواند به منشأیابی آنان کمک کند که اطلاعات حاصل از آن می‌تواند در مدیریت شیلاتی و البته زیست‌محیطی بهره‌برداری شود. به همین علت مورد توجه بسیاری از محققان قرار گرفته است (Cortazar *et al.*, 2008; Mille *et al.*, 2007; Soclo *et al.*, 2000; Baumard *et al.*, 1998a).

با توجه به وجود منابع متعدد تولید و ورود PAHs در آب‌های ساحلی استان بوشهر، منطقه مذکور مستعد آلودگی به ترکیبات PAHs است. از آنجا که برخی از ترکیبات PAHs تأثیرات سوئی در آبزیان و انسان دارند (Lopez-Abente *et al.*, 2001; Reynaud and Deschaux, 2006) بوشهر یکی از مناطق مهم صید آبزیان خوراکی در خلیج فارس است، آگاهی از غلظت و منشأ PAHs در منطقه مذکور امری ضروری است.

دوکفه‌ای Barbatia helblingii دارای پراکنش نسبتاً خوبی در سواحل بوشهر است و به بستر

## ۱. مقدمه

منابع تولید و ورود PAHs به محیط زیست گوناگون است. به طور خلاصه دو منبع عمده این ترکیبات شامل نفت و احتراق است. نشت مستقیم نفت: از طریق آب توازن کشته‌ها، خروجی پالایشگاه‌ها، فاضلاب شهری، حوادث نفتکش‌ها، و یا نشت طبیعی نفت که به منابع پتروژنیک<sup>1</sup> معروف‌اند و احتراق: اعم از احتراق طبیعی مانند آتش‌سوزی جنگل‌ها و مراتع یا مربوط به فعالیت‌های انسان مانند احتراق نفت سفید، دیزل، و گازوئیل و در نهایت ته‌نشست اتمسفری این ترکیبات که به منزله منابع پایرولیتیک<sup>2</sup> شناخته شده‌اند (Yunker *et al.*, 2002; Soclo *et al.*, 2000).

ترکیبات PAHs در منابع مختلف غلظت‌ها و نسبت‌های نابرابری دارند؛ برای مثال، نفت خام اغلب از ترکیباتی که از نظر ترمودینامیکی پایدار‌ترند مانند نفتالن، فلورن، فنانترن، و کرایسن تشکیل می‌شود، در حالی که فلورانتن و پایرین معمولاً در PAHs پایرولیتیک فراوان‌اند. چنانچه نسبت غلظت فلورانتن به پایرین بیشتر از ۱ باشد مشاً این ترکیبات پایرولیتیک است. این در حالی است که در منابع PAHs این نسبت کمتر از ۱ است.

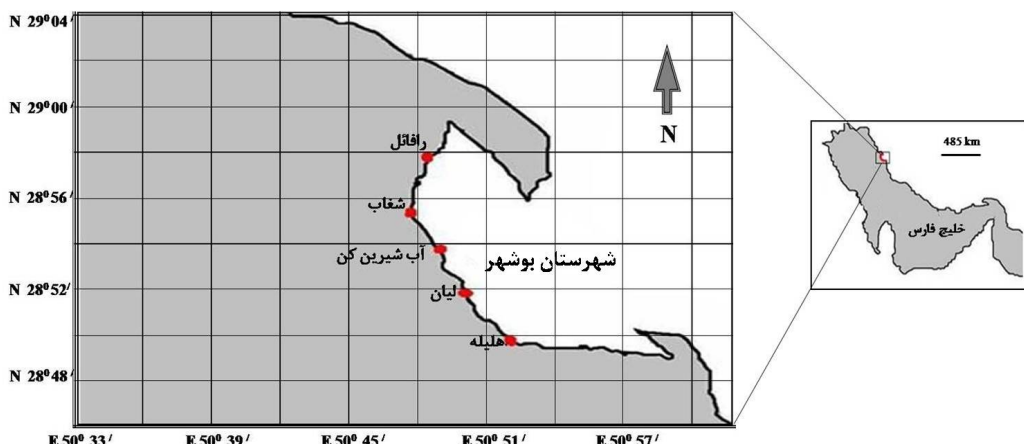
در منابع پایرولیتیک نسبت فنانترن به آنتراسن زیاد است، در حالی که در منابع پتروژنیک این نسبت کم است (Gaspare *et al.*, 2008; Wu *et al.*, 2003). ماهیان و سایر مهره‌داران سیستم متابولیزمی نسبتاً پیشرفته‌ای دارند که آنان را قادر می‌کند تا ترکیبات PAHs را متابولیز کنند. بنابراین این ترکیبات در بدن آنان پایداری چندانی ندارند (Restrepo *et al.*, 2008).

1. Petrogenic
2. Pyrolytic

## ۲. مواد و روش‌ها

نمونه‌برداری از ۵ ایستگاه در طول ساحل بوشهر در مرداد ۱۳۸۷ انجام شد. شکل ۱ موقعیت جغرافیایی ایستگاه‌های مورد مطالعه را نشان می‌دهد. از هر ایستگاه ۳۰ نمونه صدف هماندازه (با میانگین طولی ۳۵ میلی‌متر) برداشت شد. پس از جداسازی، دوکفه‌ای‌ها با قلم و چکش از بستر صخره‌ای، نمونه‌ها درون فویل آلومینیوم قرار داده شدند و با یخدان محتوی یخ به آزمایشگاه منتقل شدند.

چسبیده است و از آنجا که گونه مناسبی برای پایش زیستی این ترکیبات در منطقه ساحلی بوشهر پیشنهاد شده است (محمدی و همکاران، ۱۳۹۰)، اندازه‌گیری غلظت و نسبت ترکیبات PAHs در این موجود اطلاعات مفیدی درباره دسترسی زیستی و منشأ آلینده‌های مذکور در منطقه مورد مطالعه در اختیار ما قرار می‌دهد. تحقیق حاضر به منظور مطالعه غلظت ترکیبات PAHs و منشأ این ترکیبات در سواحل بوشهر انجام شد.



شکل ۱. ایستگاه‌های نمونه‌برداری از صدف *B. helblingii* در سواحل بوشهر

شد. سپس ۲۰ میلی‌لیتر هیدروکسید پتاسیم ۲ مولار به مخلوط اضافه شد و سوکسله به مدت ۲ ساعت دیگر ادامه داده شد. نمونه وارد قیف جداکننده شد ۳۰ میلی‌لیتر آب م قطر و ۹۰ میلی‌لیتر هگزان نرمال به آن اضافه شد و به شدت تکان داده شد. سپس قیف روی پایه قرار داده شد تا دو فاز آلی و آبی کاملاً از هم جدا شدند. پس از جداسازی فاز آلی، عمل استخراج با دو قسمت ۵۰ میلی‌لیتری هگزان نرمال مجدداً روی فاز آبی انجام شد. فاز آلی جمع‌آوری شده از سه مرحله استخراج جمع‌آوری شد و با دستگاه

در آزمایشگاه بافت نرم هر دوکفه‌ای از صدف جداسازی شد. بافت‌های نرم هر ۶ صدف با هم مخلوط شدند و پس از خشکشدن با دستگاه خشک‌کن انجمادی به منظور استخراج و آنالیز PAHs استفاده شدند. برای هر یک از ایستگاه‌ها سه نمونه بافت نرم به روش فوق آماده شد (سه تکرار). حدود ۵ گرم از بافت خشک‌شده درون دستگاه سوکسله قرار داده شد و ۲۰۰ میلی‌لیتر متانول و ۱ میلی‌لیتر محلول دکاکلروبایوفنیل (۱۶ میکروگرم بر لیتر) به آن افزوده شد و به مدت ۱۶ ساعت سوکسله

همسان<sup>۴</sup> (دارای فرمول مولکولی یکسان) استفاده شد. بدین منظور ارتباط بین نسبت فنانترن به آنتراسن، فلورانتن به پایرن، بنزو (a) آنتراسن به کرایسن، فنانترن به فنانترن+آنتراسن، فلورانتن به فلورانتن+پایرن، بنزو (a) آنتراسن به بنزو (a) آنتراسن+کرایسن، و نهایتاً نسبت ترکیبات سبک PAHs به ترکیبات سنگین PAHs بررسی شد. این مقادیر با معیار مقایسه شد و از نظر دو منشأ پایرولیتیک و پتروژئنیک بررسی شد.

### ۳. نتایج

نتایج نشان داد غلظت tPAHs در ایستگاه‌های مورد مطالعه اختلاف معنی‌داری داشته است ( $P < 0.05$ ). بالاترین غلظت tPAHs در صدف‌های جمع‌آوری شده از رفائل و کمترین غلظت ترکیبات فوق‌الذکر در صدف‌های آب‌شیرین کن سنجیده شد. غلظت ترکیبات مورد نیاز به منظور مطالعه منشأ همچنین، غلظت tPAHs در ایستگاه‌های مورد مطالعه در جدول ۱ آمده است. شکل‌های ۲ تا ۸ نسبت غلظت ترکیبات منتخب PAHs را در دو کفه‌ای *B. helblingii* در ایستگاه‌های مورد مطالعه نشان می‌دهد.

شکل ۲ نسبت غلظت Phe به Ant را نشان می‌دهد، نسبت مذکور به جز ایستگاه هلیله در سایر ایستگاه‌ها کمتر از ۱۰ بوده است.

شکل ۳ نسبت غلظت Pyr به Flu را نشان می‌دهد با توجه به شکل نسبت یادشده در صدف‌های جمع‌آوری شده از تمامی ایستگاه‌ها کمتر از ۱ است. نسبت Chry به BaA در ایستگاه لیان و هلیله کمتر از ۱ و در سایر ایستگاه‌ها بیشتر از ۱ بوده است (شکل ۴).

#### 4. Isomer

تبخیر کننده چرخان تغییض شد. پس از عبور نمونه از ستون پاک‌کننده حاوی پودر سیلیکا، پودر آلومینای آب‌زده، و سدیم سولفات مجدداً با دستگاه تبخیر کننده چرخان به حجم ۵ میلی‌لیتر رسانده شد. نمونه درون ویال‌های مدرج قرار گرفت و پس از تبخیر کامل حلال، در یک میلی‌لیتر استو نیتریل حل و MOOPAM<sup>۱</sup> تزریق شد ( HPLC, 1999; US EPA, 1996).

برای آنالیز ترکیبات PAHs از روش شویش گرادیانی استفاده شد. بدین ترتیب که از دو فاز متحرك آب (۶۰ درصد) و استونیتریل (۴۰ درصد) با سرعت ۲ میلی‌لیتر بر دقیقه استفاده شد. فاز متحرك در مدت ۲۰/۵ دقیقه به ۱۰۰ درصد استونیتریل تبدیل شد و تا زمان ۲۷/۵ دقیقه ادامه یافت و پس از این زمان تا زمان ۳۰ دقیقه مجدداً به شرایط اولیه (آب ۴۰ درصد و استونیتریل ۶۰ درصد) برگشت. کالیبراسیون دستگاه با محلول استاندارد (Calibration Mix) با شماره کاتالوگ U-47940 مخصوص شرکت Decachlorobiphenyl SUPELCO و محلول SUPELCO شماره کاتالوگ 48318 مخصوص شرکت به منزله جانشین PAHs انجام شد.

تجزیه و تحلیل آماری با نرم‌افزار SPSS 14 انجام شد. به منظور بررسی نرمال‌بودن داده‌ها از تست شپیرو ویلک<sup>۲</sup> استفاده شد. مقایسه غلظت PAHs در بافت نرم دوکفه‌ای در ایستگاه‌های مختلف با آزمون آنالیز واریانس یک‌طرفه<sup>۳</sup> انجام شد. به منظور تعیین منشأ PAHs در بافت نرم صدف از نسبت ترکیبات

1. High Performance Liquid Chromatograph

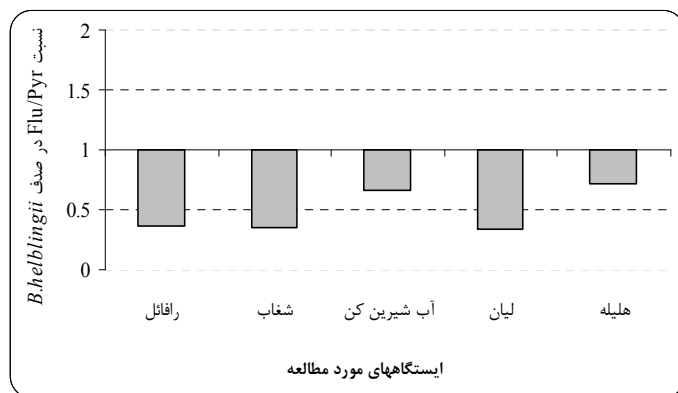
2. Shapiro-Wilk

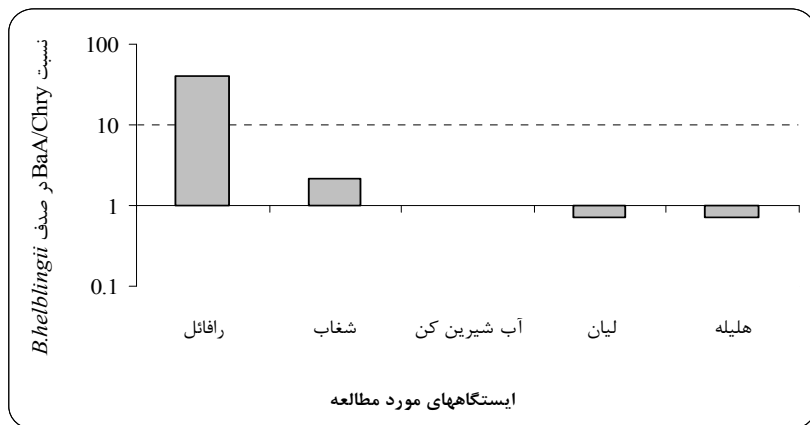
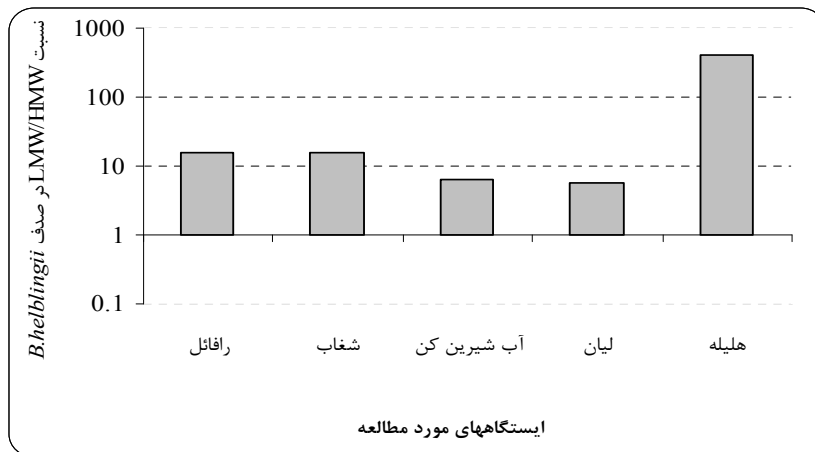
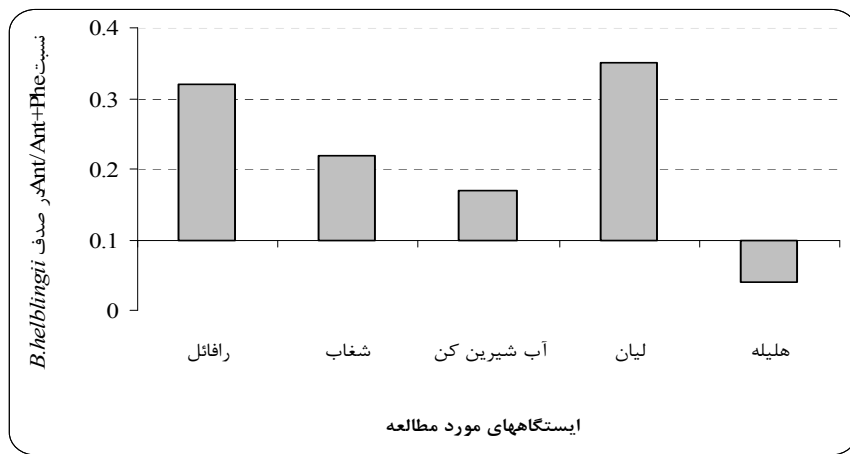
3. ANOVA

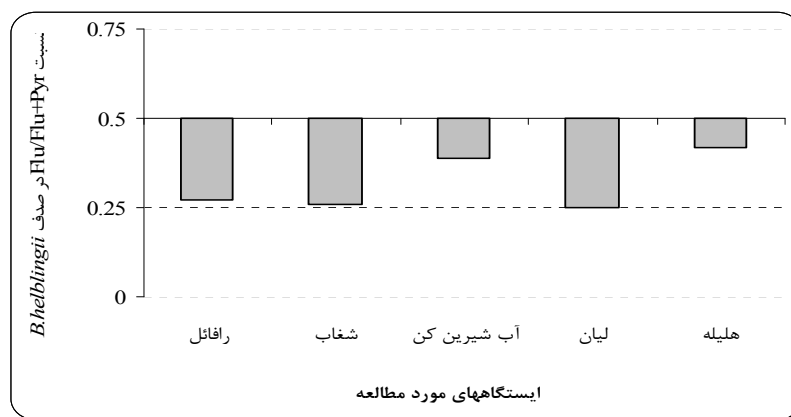
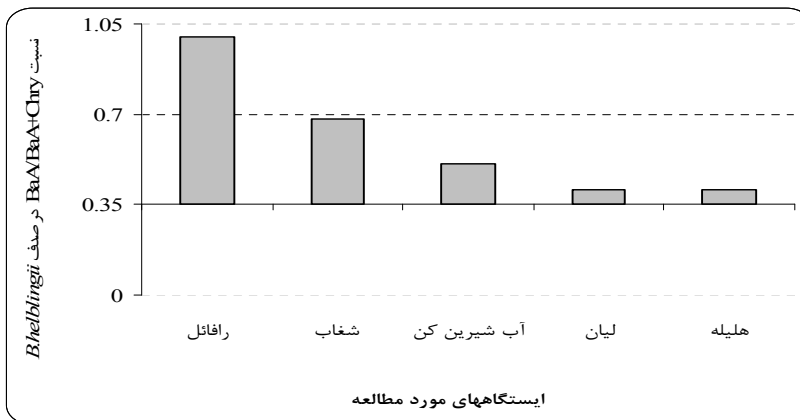
جدول ۱. غلظت ترکیبات PAHs در صدف *B.helblingii* در ساحل بوشهر

ایستگاه‌های مورد مطالعه						نام اختصاری	نام ترکیب
هلهله	لیان	آب شیرین کن	شغاب	رافائل			
۱۰۸/۳	۱۰۹/۵	۹/۰	۹۴/۰	۱۱۶/۸	Phe	فنانترن	
۵/۰	۵۹/۵	۱/۹	۲۷/۷	۵۵/۵	Ant	آنتراسن	
۷۱/۸	۳۳/۱	۱۱/۴	۳۸/۴	۵۵/۸	Flu	فلورانتن	
۹۹/۱	۹۵/۵	۱۷/۲	۱۰۸/۱	۱۴۸/۷	Pyr	پایرن	
۳۷/۴	۳/۳	۷/۹	۵۳/۰	۳۹/۳	BaA	بنزو (a) آنتراسن	
۵۳/۳	۴/۶	۷/۵	۲۴/۰	ND	Chry	کرایسن	
۴۱۵/۰	۳۸۴/۵	۱۱۲/۳	۴۴۸/۱	۵۹۶/۰	LMW	ترکیبات سبک	
ND	۶۸/۰	۱۷/۳	۲۸/۶	۳۸/۷	HMW	ترکیبات سنگین	
۴۱۴/۹	۴۵۲/۵	۱۲۹/۰	۴۷۶/۶	۶۳۴/۷	tPAHs	کل PAHs	

ND: پایین‌تر از حد تشخیص دستگاه.

شکل ۲. نسبت Phe/Ant در صدف *B.helblingii* در سواحل بوشهرشکل ۳. نسبت Flu/Pyr در صدف *B.helblingii* در سواحل بوشهر

شکل ۴. نسبت BaA/Chry در صدف *B.helblingii* در سواحل بوشهرشکل ۵. نسبت LMW/HMW در صدف *B.helblingii* در سواحل بوشهرشکل ۶. نسبت Ant/Ant+Phe در صدف *B.helblingii* در سواحل بوشهر

شکل ۷. نسبت *B. helblingii* در صدف Flu/Flu+Pyr در سواحل بوشهرشکل ۸. نسبت *B. helblingii* در صدف BaA/BaA+Chry در سواحل بوشهر

مذکور در تمامی ایستگاه‌ها بیش از ۱ بوده است. نسبت Ant به Ant+Phe از ۰/۱ و در بقیه ایستگاه‌ها بیشتر از ۰/۱ بوده است (شکل ۶).

در شکل ۷ نسبت Flu به Flu+Pyr آمده است که این نسبت در صدف‌های همه ایستگاه‌های نمونه‌برداری کمتر از ۰/۵ بوده است.

نسبت BaA به BaA+Chry نیز در صدف مورد مطالعه در همه ایستگاه‌ها بیشتر از ۰/۳۵ بوده است (شکل ۸).

نسبت LMW<sup>1</sup> به HMW<sup>2</sup> در شکل ۵ آمده است، LMW مجموع ترکیبات دو تا چهار حلقه‌ای شامل نفتالن، آسنفتلن، آسنفتیلن، فلورون، فناترن، آنتراسن، فلورانتن، پایرن، بنزو (a) آنتراسن و کرایسن است. HMW مجموع ترکیبات ۵ و ۶ حلقه‌ای شامل بنزو (b) فلورانتن، بنزو (k) فلورانتن، بنزو (a) پایرن، دی بنزو (ah) آنتراسن، بنزو (ghi) پریلن و ایندنوپایرن است. با توجه به شکل نسبت ترکیبات

1. Low molecular weight  
2 . High molecular weight

مهمی را در تغذیه سایر آبزیان از جمله ماهی‌ها ایفا می‌کنند (Shumway *et al.*, 2003). بنابراین، آلودگی منطقه علاوه بر آنکه ممکن است ماهی‌ها و آبزیان خوراکی را مستقیماً تحت تأثیر قرار دهد، از طریق دوکفه‌ای‌ها نیز ممکن است وارد زنجیره غذایی دریایی شود که نهایتاً ممکن است انسان را نیز متأثر کند. با این توضیح آلودگی سایر آبزیان شیلاتی بیشترین غلظت tPAHs در رافائل و کمرین غلظت ترکیبات مذکور در آب‌شیرین‌کن بوده است. ایستگاه رافائل علاوه بر هم‌جواری با اسکله‌های ماهی‌گیری و حمل و نقل دریایی محل تخلیه حجم زیادی از فاضلاب شهری است؛ در حالی که، ایستگاه آب‌شیرین‌کن از اسکله‌ها دور است و فاضلاب مشخصی به این مکان وارد نمی‌شود.

از آنجا که مقادیر tPAHs در منطقه مورد مطالعه نسبتاً زیاد بوده است، منشأ ورود این ترکیبات به منطقه بررسی شده است. با توجه به نتایج نسبت فناورانه به آنتراسن در تمامی ایستگاه‌ها کمتر از ۱۰ و در هلیله بیشتر از ۱۰ بوده است. در نسبت‌های کمتر از ۱۰ این ترکیبات منشأ پایرولیتیک و در نسبت‌های Wu *et al.* (2003; Gaspare *et al.*, 2008) مطالعه غلظت فلورانتن به پایین نشان داد که تمامی ایستگاه‌ها منشأ پتروژئنیک دارند. در جدول ۲ ایستگاه‌های مورد مطالعه از نظر منشأ PAHs با توجه به نسبت ترکیبات منتخب PAHs در صدف *B. helblingii* تقسیم‌بندی شده‌اند. با توجه به این جدول ایستگاه‌های رافائل، شغال، آب‌شیرین‌کن، و لیان آلودگی PAHs را از هر

#### ۴. بحث و نتیجه‌گیری

با توجه به نتایج، میانگین غلظت tPAHs در صدف *B. helblingii* در سواحل بوشهر ۴۲۱/۶ نانوگرم بر گرم بوده است. در مطالعات پیشین گزارش شده است که غلظت tPAHs در دوکفه‌ای *Solen roseomaculatus* در استان بوشهر ۳۵۴/۶۶ نانوگرم بر گرم (Arazm, 2010) و در صدف *Saccostrea cucullata* در سواحل استان بوشهر ۱۹۰/۳۳ نانوگرم بر گرم (Mirza *et al.*, 2011) بوده است. همچنین، غلظت این ترکیبات در دوکفه‌ای *Circentia callipyga* در سواحل قطر ۱۰۵ نانوگرم بر گرم و دوکفه‌ای *Saccostrea cucullata* در سواحل عمان ۶۶ نانوگرم بر گرم بوده است (Tolosa *et al.*, 2005). در صدف *Crassostrea Virginia* (Peachey, 2005) خلیج موبیل، آلباما ۳۱۲ نانوگرم بر گرم در دوکفه‌ای *Mytilus galloprovincialis* (2003) در دریای مدیترانه سواحل اسپانیا و فرانسه ۹۸/۸ نانوگرم بر گرم (Bummard *et al.*, 1998b)، در صدف *Crassostrea sp* خلیج بیساکی ۵۲۴ نانوگرم بر گرم (Kelly *et al.*, 2008) در صدف *Ostera* (Cortazar *et al.*, 2008) در لبنان ۱۲۵ نانوگرم بر گرم (وزن تر) بوده است. مقادیر یافته شده در این تحقیق نسبت به موارد ذکر شده تا حدودی زیاد است که بر این اساس صدف‌های مورد مطالعه را می‌توان نسبتاً آلوده برآورد کرد. این یافته مبنی آن است که دسترسی زیستی PAHs در منطقه مورد مطالعه نسبتاً بالاست. دوکفه‌ای‌ها علاوه بر آنکه در بسیاری از کشورها خود از آبزیان مهم شیلاتی به شمار می‌روند در زنجیره‌های غذایی دریایی نیز نقش

PAHs در منطقه مورد مطالعه با سایر نقاط دنیا مقایسه شده است. با توجه به جدول، شرایط سواحل بوشهر از نظر منشأ دریافت PAHs مشابه دریای مدیترانه است.

با توجه به جدول ۲ آلدگی PAHs واردشده به ایستگاه هلیله فقط از منابع پتروژنیک است. گرچه این ایستگاه از شهر دور است و تحت تأثیر فاضلاب و یا آلدگی‌های واردشونده از طریق روان آب نیست، به هر حال از آلدگی‌های دریایی خلیج فارس و بوشهر (نفت) مصون نمانده است.

دو منبع پایرولیتیک و پتروژنیک دریافت می‌کنند. با این تفاوت که سهم منابع پتروژنیک در آلدگی این ایستگاه‌ها بیش از منابع پایرولیتیک است. ایستگاه‌های مذکور تحت تأثیر حمل و نقل دریایی و فعالیت‌های وابسته به نفت که در خلیج فارس انجام می‌شود قرار دارند که باعث دریافت PAHs از منابع پتروژنیک می‌شوند. از آنجا که این سواحل هم جوار با شهر و فعالیت‌های وابسته به آن قرار دارند، تا حدودی نیز تحت تأثیر PAHs پایرولیتیک ناشی از احتراق سوخت قرار می‌گیرند که پس از تنشست با روان آب و فاضلاب وارد دریا می‌شوند. در جدول ۳ منشأ

جدول ۲. تقسیم‌بندی ایستگاه‌های مورد مطالعه از نظر منشأ PAHs بر اساس نسبت ترکیبات مختلف PAHs

نسبت‌های مولکولی	معیار تعیین منشأ	تقسیم‌بندی ایستگاه‌های مورد مطالعه با توجه به معیار	پتروژنیک	پایرولیتیک	پایرولیتیک
۱،۲،۳،۴	۵	۱۰>	۱۰<	۱Phe/Ant	
	* ۱،۲،۳،۴،۵	۱<	۱>	۲Flu/Pyr	
۱،۲،۳	۴۵	۱<	۱>	۳BaA/Chry	
	۱،۲،۳،۴،۵	۱>	۱<	۴LMW/HMW	
۱،۲،۳،۴	۵	۰/۱<	۰/۱>	۵Ant/Ant+Phe	
	۱،۲،۳،۴،۵	۰/۵<	۰/۵>	۵Flu/Flu+Pyr	
۱،۲،۳،۴،۵		۰/۲>	۰/۳۵<	۶BaA/BaA+Chry	

\*شماره ایستگاه‌ها: ۱: ایستگاه رافائل، ۲: ایستگاه شغاب، ۳: ایستگاه آب‌شیرین‌کن، ۴: ایستگاه لیان و ۵: ایستگاه هلیله.

۱: Tam et al, 2001; Wu et al, 2003; Gaspare et al, 2008

۲: Webster et al, 2002; Gaspare et al, 2008; Wu et al, 2003

۳: Dickhut et al, 2000; Priccardo et al, 2001; Baumard et al, 1999

۴: Baumarrd et al, 1999; Gaspare et al, 2008; Fang et al, 2009

۵: Mille et al, 2007; Cortazar et al, 2008

۶: Cortazar et al, 2008; Yunker et al, 2002; Mille et al, 2007

جدول ۳. مقایسه منشأ PAHs در سواحل بوشهر با منشأ PAHs در رسوبات جهان

منطقه مورد مطالعه	منشأ PAHs در رسوبات	منبع
ساحل رافائل	پتروژنیک- پایرولیتیک	مطالعه حاضر
ساحل شغاب	پتروژنیک- پایرولیتیک	مطالعه حاضر
ساحل آب شیرین کن	پتروژنیک- پایرولیتیک	مطالعه حاضر
ساحل لیان	پتروژنیک- پایرولیتیک	مطالعه حاضر
ساحل هلیله	پتروژنیک	مطالعه حاضر
شمال دریای ایرلند	پایرولیتیک	Guinan et al., 2001
غرب دریای مدیترانه	پتروژنیک- پایرولیتیک	Baumard et al., 1998a
خلیج Meiliang از چین	پایرولیتیک	Qiao et al., 2003
مصب رودخانه Pearl در چین	پایرولیتیک	Liu et al., 2005
استان بوشهر	پتروژنیک- پایرولیتیک	Mirza et al., 2011

سلامتی انسان و آبزیان، مطالعات پایش زیستی و اندازه‌گیری غلظت PAHs در سایر آبزیان، به خصوص گونه‌های خوراکی در آب‌های بوشهر، ضروری به نظر می‌رسد. از آنجا که بخش زیادی از PAHs در ساحل بوشهر از منابع پتروژنیک منشأ می‌گیرد ضروری است کتترل بیشتری بر تخلیه و بارگیری نفت، خطوط انتقال نفت و گاز، و حمل و نقل دریایی انجام گیرد. با توجه به اینکه به نظر می‌رسد بخشی از PAHs پایرولیتیک موجود در سواحل بوشهر از فعالیت‌های شهری وارد محیط دریا می‌شود، رعایت قوانین محیط زیست شهری مانند کتترل خروجی فاضلاب و دودکش صنایع، فاضلاب شهری، یا حتی سیاست‌های راهبردی در بخش حمل و نقل شهری نیز تا حدودی در کاهش ورود PAHs به محیط زیست ساحلی بوشهر مؤثر است.

یکی از اهداف شیلات در کشورهای هم‌جوار دریا، توسعه صنعت آبزی پروری در آب‌های ساحلی است. تعیین محل مناسب به منظور احداث مزارع پرورشی، مراکز تکثیر، و استحصال آب دریا اولین قدم این کار محسوب می‌شود. ایستگاه‌ها یا مناطقی که هیدروکربن‌های با منشأ پایرولیتیک بیشتری دریافت می‌کنند بیشتر تحت تأثیر آلودگی انسان‌ساخت قرار دارند. علاوه بر آن، ترکیبات پایرولیتیک درشت مولکولاند و سرطان‌زاوی بیشتری دارند. گرچه منشأ همه هیدروکربن‌های نفتی در هلیله از نوع پتروژنیک است، اما ایستگاه آب شیرین کن به علت غلظت کمتر و دسترسی زیستی پایین آلانده‌ها محل مناسبی برای توسعه فعالیت‌های آبزی پروری است.

با توجه به غلظت نسبتاً بالای PAHs در منطقه مورد مطالعه و از طرفی تأثیرات سوء PAHs در

## References

- [1]. Akcha, F., Izuel, C., Venier, P., Budzinski, H., Burgeot, T., Narbonne, J., 2000. Enzymatic biomarker measurement and study of DNA adduct formation in benzo. Aquatic Toxicology 49, 269– 287.
- [2]. Arazm, 2010, Investigation on polycyclic aromatic hydrocarbons in sediments and Razor clam (*Solen roseomaculatus*) from Bushehr coast as indication of oil pollution, M.Sc thesis, Khorramshahr University of marine science and Technology, 78pp.
- [3]. Baumard, P., Buzinski, H., Michon, Q., Garrigues, P., Burgeot T., Bellocq, J., 1998a. Origin and bioavailability of PAHs in the Mediterranean sea from mussel and sediment records. Estuarin.Costal and Shelf Science 47, 77-90.
- [4]. Baumard, P., Budzinski, H., Garrigues, P., Sorbe, J.C., Burgeot, T., Belloca, J., 1998b. Concentration of PAH in various marine organisms in relation to those in sediments to throphic level. Marin Pollution Bulletin 36, 951-960.
- [5]. Baumard, P., Budzinski, H., Garrigues, P., Narbonne, J. F., Burgeot, T., Michel, X., Bellocq, J., 1999. Polycyclic aromatic hydrocarbon (PAHs) burden of mussels (*mytilus SP.*) in different marine environments in relation with sediment PAH contamination and bioavailability. Marine Environmental Research 47, 415-439.
- [6]. Cortazar, E., Bartolomé, L., Arrasate, S., Usobiaga, A., Raposo, J.C., Zuloaga,O., Etxebarria, N., 2008. Distribution and bioaccumulation of PAHs in the UNESCO protected natural reserve of Urdaibai, Bay of Biscay. Chemosphere 72, 1467–1474.
- [7]. Dickhut, R.M., Canuel, E.A., Gustafson, K.E., Liu, K., Arzayus, K.M., Walker, S.E., Edgecombe, G., Gaylor, M.O., MacDonald, E.H., 2000. Automatic sources of carcinogenic polycyclic aromatic hydrocarbons associated with particulate matter in the Chesapeake Bay region. Environmental Science and Technology 34, 4635–4640.
- [8]. EPA (United States Environmental Protection Agency). 1996. Method 3540C, Soxhlet Extraction. 8pp.
- [9]. Fang, J. K. H., Au, D. W.T., Wu, R. S. S., Zheng, G. J., Chan, A. K. Y., Lam, P. K. S., Shin, P. K. S., 2009. Concentrations of polycyclic aromatic hydrocarbons and polychlorinated biphenyls in green-lipped mussel *perna viridis* from Victoria Harbour, Hong Kong and possible human health risk. Marine Pollution Bulletin 58, 601-634.
- [10]. Gaspare, L., Machiva, J. F., Mdachi, S. J. M., Streck, G., Brack, W., 2008. Polycyclic aromatic hydrocarbon (PAH) contamination of surface sediments and oysters from the inter-tidal areas of Dar es Salaam, Tanzania. Environmental Pollution 20, 1-11.
- [11]. Guinan, J., Charlesworth, M., Service, M., Oliver, T. 2001. Sources and geochemical constraints of polycyclic aromatic hydrocarbons (PAHs) in sediments and mussels of two northern Irish Sea-loughs. Marine Pollution Bulletin 42(11): 1073-1081.
- [12]. Kelly, C., Santillo, D., Johnston, P., Fayad, Ghalia., L. Baker, K., J. Law, R., 2008. Polycyclic aromatic hydrocarbons in oysters from coastal waters of the Lebanon 10 months after the Jiyeh oil spill in 2006. Marine Pollution Bulletin 56, 1215–1233.

- [13]. Liu, G. Q., Zhang, G., Li, X. D., Li, J., Peng, X. Z. and Qi, S. H., 2005. Sedimentary record of polycyclic aromatic hydrocarbons in a sediment core from the Pearl River estuary, South China. *Marine Pollution Bulletin* 51, 912-921.
- [14]. Lopez-Abente, G., Sanz-Anquela, J.M., Gonzalez, C.A., 2001. Consumption of wine stored in leather wine bottles and incidence of gastric cancer. *Archives Environmental Health* 56, 559-561.
- [15]. Mahmoudi, m., Safahieh, A.R., Nikpour, Y., Ghanemi, K., 2011. Evaluation of Ark clam (*Barbatia helblingii*) as biomonitor agent for PAHs contamination in coastal area of Bushehr. *Journal of Environmental studies* 58, 141-148.
- [16]. Manoli, E., samara, C., konstantinou, I., Albanis, T., 2000. Pollution survey of polycyclic aromatic hydrocarbons in the bulk precipitation and surface waters of northern Greece. *Chemosphere* 41, 1845- 1855.
- [17]. Mille, G., Asia,L., Giuliano, M., Malleret, L., Doumenq, P., 2007. Hydrocarbons in coastal sediments from the Mediterranean Sea (Gulf of Fos area, France). *Marine Pollution Bulletin* 54, 566–575.
- [18]. Mirza, R., Mohammadi, M., Dadolahi Sohrab, A., Safahieh, A., Savari, A., Hajeb, P., 2011. Polycyclic aromatic hydrocarbons in seawater, sediment and rock oyster (*Saccostrea Cucullata*) from the northern part of the Persian Gulf (Bushehr Province). *Water, Air & Soil Pollution* 223, 189-198.
- [19]. MOOPAM, 1999. Standard methods for chemical analysis of petroleum hydrocarbons, Regional organization for the protection of marine environment. Third addition. Kuwait.
- [20]. Peachey, R.B.G., 2003. Tributyltin and polycyclic aromatic hydrocarbon levels in Mobile Bay, Alabama: A review. *Marine Pollution Bulletin* 46, 1365–1371.
- [21]. Piccardo, M. T., Coradeghini, R. and Valerio, F., 2001. Polycyclic aromatic hydrocarbon pollution in native and caged mussels. *Marine Pollution Bulletin* 42, 951-956.
- [22]. Qiao, M., Wang, C., Huang, S., Wang, D. and Wang, Z., 2003. Composition, sources, and potential toxicological significance of PAHs in the surface sediments of the Meiliang Bay, Taihu Lake, China. *Environment International* 32, 28-33.
- [23]. Restrepo, B.J., Verbel, J.V., Lu, Sh., Fernández, J.G., Avila, R.B., Hoyos, I.O., Aldous, K.M., Addink, R., Kannan, K., 2008. Polycyclic aromatic hydrocarbons and their hydroxylated metabolites in fish bile and sediments from coastal waters of Colombia. *Environmental Pollution* 151, 452-459.
- [24]. Reynaud, S., Deschaux, P., 2006. The effects of polycyclic aromatic hydrocarbons on the immune system of fish: a review. *Aquatic Toxicology* 77(2): 229-38.
- [25]. Soclo, H.H., Garrigues, P.H., Ewald, M., 2000. Origin of polycyclic aromatic hydrocarbons (PAHs) in coastal marine sediments case studies in Cotonou (Benin) and Aquitaine (France) areas. *Marine Pollution Bulletin* 40, 387–396.
- [26]. Tam, N. F. Y., Ke, L., Wang, X. H. and Wong, Y. S., 2001. Contamination of polycyclic aromatic hydrocarbons in surface sediments of mangrove swamp. *Environmental Pollution* 114, 255-263.

- [27]. Tolosa, I., Mora, S.I., Fowler, S.W., Villeneuve, J.P., Bartocci, J., Cattini, C., 2005. Aliphatic and aromatic hydrocarbons in marine biota and coastal sediments from the Gulf and the Gulf of Oman. *Marine Pollution Bulletin* 50, 1619-1633.
- [28]. Webster, L., McIntosh, A. D., Dalgarno, E. J., Megginson, C., Shepherd, N. J., Moffat, C. F., 2002. The Polycyclic aromatic hydrocarbon composition of mussels(*Mytilus edulis*) from Scottish coastal waters. *Environmental Monitoring* 5, 150-159.
- [29]. Wu, Y., Zhang, J., Zhu, Z., 2003. Polycyclic aromatic hydrocarbons in the sediments of the Yalujiang Estuary, North China. *Marine Pollution Bulletin* 46, 619-625.
- [30]. Yunker, M.B., Backus, S.M., Pannatier, E.G., Jeffries, D.S., Macdonald, R.W., 2002. Sources and significance of alkane and PAH hydrocarbons in Canadian Arctic rivers. *Estuarine Coastal and Shelf Science* 55, 1-31.
- [31]. Shumway, S., Davis, CH., Downey, R., Karney, R., Kraeuter, J., Parsons, J., Rheault, R., Wikfors, G., 2003. Shellfish aquaculture in praise of sustainable economies and environments. *World Aquaculture* 34(4):15-17.